

## Плотность электронных состояний и спиновые флуктуации в слабых зонных магнетиках

А. А. Повзнер, В. Г. Волков, П. В. Баянкин

Уральский государственный технический университет, Россия, 620002, г. Екатеринбург, ул. Мира, 19  
E-mail: pav@alfa.e-burg.ru

Статья поступила в редакцию 30 сентября 1996 г., после переработки 5 мая 1997 г.

Рассматривается влияние нулевых и тепловых спиновых флуктуаций на электронную структуру и магнитные свойства слабых зонных магнетиков. На примере  $\text{Fe}_{1-x}\text{Co}_x\text{Si}$  продемонстрирована возможность значительной перенормировки плотности электронных состояний во флуктуирующих обменных и зарядовых полях. Найденная температурная зависимость парамагнитной восприимчивости согласуется с экспериментальными данными для  $\text{Fe}_{1-x}\text{Co}_x\text{Si}$ .

Розглянуто вплив нульових та теплових спинових флуктуацій на електронну структуру і магнітні властивості зонних магнетиків. На прикладі  $\text{Fe}_{1-x}\text{Co}_x\text{Si}$  продемонстровано можливість значного перенормування густини електронних станів у флуктуючих обмінних та зарядових полях. Отримана температурна залежність парамагнітної сприйнятливості узгоджується з експериментальними даними для  $\text{Fe}_{1-x}\text{Co}_x\text{Si}$ .

PACS: 75.10.Lp, 75.30.Mb, 75.40.-s

1. К слабым зонным магнетикам относят группу соединений переходных металлов, отличающихся аномально малыми значениями температур Кюри и Нееля ( $T_c \sim 10$  К) и значений намагниченности основного состояния ( $m_0(0) = 0,1\mu_B$ ;  $\mu_B$  — магнетон Бора). При этом в данной группе веществ имеются как слабые зонные ферромагнетики ( $\text{ZrZn}_2$ ,  $\text{Ni}_3\text{Al}$  и др. [1]), так и гелимагнетики (например,  $\text{MnSi}$ ,  $\text{Fe}_{1-x}\text{Co}_x\text{Si}$  [1,2]) с малыми по модулю величинами волновых векторов ( $q_0 \sim 10^{-2}-10^{-3} \text{ \AA}^{-1}$  [2,3]), которые в сравнительно слабых внешних магнитных полях ( $h_0 > h_{0,c}$ ,  $h_{0,c} \sim 10$  кЭ) становятся слабоферромагнитными. Еще одной важной и до сих пор мало изученной особенностью слабых зонных магнетиков являются возникающие наряду с тепловыми спиновыми флуктуациями (с амплитудой  $\langle m \rangle_T = \langle m^2 \rangle_T^{1/2} \sim T^{2/3}$  [1]) нулевые спиновые флуктуации, амплитуда которых  $\langle m \rangle_0 = \langle m^2 \rangle_0^{1/2}$  слабо зависит от температуры и может оказаться равной или даже большей, чем амплитуда намагниченности основного состояния  $m_0(0)$  [4–6]. Экспериментальным указанием на реализацию подобной возможности являются данные о неупругом рассеянии нейтронов в  $\text{MnSi}$  [7].

В настоящей работе развивается подход к теории слабого зонного магнетизма, описывающий влияние тепловых и нулевых спиновых флуктуаций на плотность электронных состояний слабых зонных магнетиков. Конкретный анализ этого влияния, так же как и оценки амплитуд спиновых флуктуаций, сделан для сплавов  $\text{Fe}_{1-x}\text{Co}_x\text{Si}$ , в которых, судя по экспериментальным данным о магнитных, магнитоупругих и магнитообъемных характеристиках, перенормировка плотности электронных состояний оказывается существенной [8–12].

2. Для анализа влияния тепловых и нулевых спиновых флуктуаций на плотность электронных состояний слабых зонных магнетиков воспользуемся моделью Хаббарда, в которой наряду с зонным движением электронов учитывается их внутриатомное отталкивание на одном узле (см., например, [1]). Гамильтониан системы электронов представим в виде

$$H = H_0 + \sum_q IN_{q,\sigma} N_{q,-\sigma} - h_0 S_0^{(z)}, \quad (1)$$

где

$$H_0 = \sum_{\mathbf{k}, \sigma = \pm 1/2} \varepsilon_{\mathbf{k}} a_{\mathbf{k}, \sigma}^{\dagger} a_{\mathbf{k}, \sigma}, \quad (2)$$

$\varepsilon_{\mathbf{k}}$  — энергия зонного движения электронов;  $a_{\mathbf{k}, \sigma}^{\dagger}$  ( $a_{\mathbf{k}, \sigma}$ ) — оператор рождения (уничтожения) электронов в состоянии с квазиимпульсом  $\mathbf{k}$  и спином  $\sigma = \pm 1/2$ ;  $I$  — параметр межэлектронного спинового и зарядового взаимодействий;

$$N_{\mathbf{q}, \sigma} = \sum_{\mathbf{k}} a_{\mathbf{k}, \sigma}^{\dagger} a_{\mathbf{k}+\mathbf{q}, \sigma} \quad (3)$$

— оператор фурье-образа электронной плотности с волновым вектором  $\mathbf{q}$  и спином  $\sigma$ ;  $\mathbf{S}_{\mathbf{q}}$  — вектор оператора спиновой плотности,

$$S_{\mathbf{q}}^z = \sum_{\sigma} \sigma N_{\mathbf{q}, \sigma}, \quad S_{\mathbf{q}}^{\pm} = \sum_{\mathbf{k}} a_{\mathbf{k}, \sigma}^{\dagger} a_{\mathbf{k}+\mathbf{q}, -\sigma} \delta_{\sigma, \pm 1/2}$$

— его продольные (параллельные оси  $OZ$ ) и циркулярные компоненты;  $h_0$  — напряженность внешнего магнитного поля, направленного вдоль оси  $OZ$ .

В работе [5] данная модель использовалась для самосогласованного расчета электронного термодинамического потенциала. При этом развивался формализм функциональных преобразований Стратоновича — Хаббарда, сводящих исследуемую модель к изучению движения электронов во флуктуирующих обменных ( $\xi$ ) и зарядовых ( $\eta$ ) полях. Разработанный в [5] формализм применим к расчету мацубаровской одноэлектронной функции Грина [13], непосредственно связанной с плотностью электронных состояний:

$$G_{\mathbf{k}, \sigma} = \frac{1}{T} \langle T_{\tau} a_{\mathbf{k}, \sigma}^{\dagger} a_{\mathbf{k}, \sigma} \sigma(1/T) \rangle_0, \quad (4)$$

где  $T_{\tau}$  — оператор упорядочения по мнимому времени  $\tau$ ;  $k = (\mathbf{k}, \omega_{2n+1})$ ,  $\omega_{2n+1} = (2n+1)T$  — фермиевская мацубаровская частота ( $n$  — целое число);  $\sigma(1/T)$  — матрица рассеяния;  $T$  — температура в энергетических единицах;  $\langle \dots \rangle_0$  — квантостатистическое среднее с гамильтонианом  $H_0$ .

Для вычисления (5) введем производящий функционал

$$\Omega(\lambda_{\mathbf{k}, \sigma}) = \Omega_0 -$$

$$- T \ln \langle \exp(-[H - H_0 + \sum_{\mathbf{k}, \sigma} \lambda_{\mathbf{k}, \sigma} a_{\mathbf{k}, \sigma}^{\dagger} a_{\mathbf{k}, \sigma}]/T) \rangle_0 \quad (5)$$

( $\Omega_0$  — термодинамический потенциал невзаимодействующих электронов) и запишем искомую функцию Грина в виде

$$G_{\mathbf{k}, \sigma} = \lim_{\lambda_{\mathbf{k}, \sigma} \rightarrow 0} \partial \Omega(\lambda_{\mathbf{k}, \sigma}) / \partial \lambda_{\mathbf{k}, \sigma}. \quad (6)$$

Выражая далее (5) через функциональные интегралы по переменным  $\xi$  и  $\eta$ , для  $\Omega(\lambda_{\mathbf{k}, \sigma})$  получаем выражение, отличающееся от найденного в [5] для термодинамического потенциала заменой  $\varepsilon_{\mathbf{k}} \rightarrow \varepsilon_{\mathbf{k}} + \lambda_{\mathbf{k}, \sigma}$ . При этом, применяя для оценок  $\Omega(\lambda_{\mathbf{k}, \sigma})$  метод седловой точки по переменным  $m_q^{\gamma} = |\xi_q^{\gamma}|$  и  $\eta_q$  ( $q = (\mathbf{q}, \omega_{2n})$ , где  $\omega_{2n} = 2nT$  — бозевская мацубаровская частота [13]), с помощью (6) находим электронную функцию Грина

$$G_{\mathbf{k}, \sigma} = \frac{1}{2N_0} \times$$

$$\times \sum_{\mathbf{v}, \sigma' = \pm 1} \int \prod_{\mathbf{q}, \gamma} \frac{d\Theta_{\mathbf{q}, \gamma}}{2\pi} (i\omega_{2n+1} - \varepsilon_{\mathbf{k}} - \sigma' \xi_{\mathbf{v}})^{-1} \left( 1 + 2\sigma\sigma' \frac{\xi_{\mathbf{v}}^z}{\xi_{\mathbf{v}}^{\gamma}} \right). \quad (7)$$

Здесь

$$\sum_{\mathbf{v}} (\dots) = \frac{1}{N_0} \sum_{\mathbf{v}} \int_0^T (\dots) d\tau; \quad \mathbf{v} = (\mathbf{v}, \tau);$$

$\xi_{\mathbf{v}}$  — модуль флуктуирующего обменного поля на узле  $\mathbf{v}$  в представлении мнимого времени  $\tau$ ;  $\xi_{\mathbf{v}}^{\gamma}$  — проекция вектора обменного поля на ось  $\gamma$ ,  $\gamma = x, y, z$ ;  $\Theta_{\mathbf{q}, \gamma} = \arg \xi_{\mathbf{q}}^{\gamma}$ ,  $\xi_{\mathbf{q}}^{\gamma}$  — фурье-образ  $\xi_{\mathbf{v}}^{\gamma}$  по переменным  $\mathbf{v}$  и  $\tau$  (см. [5]);  $N_0$  — число узлов кристаллической решетки, занятых  $d$ -атомами.

Далее, осуществляя аналитическое продолжение выражения (7) на действительную ось ( $i\omega_{2n+1} \rightarrow \omega + i\theta$ ) и переходя к температурным двухвременным функциям Грина [14], находим выражение для плотности электронных состояний и амплитуды спиновых флуктуаций:

$$g_{\sigma}(\varepsilon, \xi, m_0) =$$

$$= \frac{1}{2} \sum_{\sigma' = \pm 1} g(\varepsilon + \sigma' \xi) [1 + (2\sigma\sigma' m_0 / m_L)(1 + \langle m^2 \rangle) / 3m_L^2], \quad (8)$$

$$\langle m^2 \rangle = \frac{T}{I} \sum_{\mathbf{q}, \gamma} m_{\mathbf{q}}^{\gamma} =$$

$$= \frac{1}{I\pi N_0} \sum_{\mathbf{q}, \gamma} \int_0^{\infty} \left[ f_B(\omega/T) + \frac{1}{2} \right] \text{Im} \{ D^{-1}(\xi) + X(\mathbf{q}, \omega) \}^{-1} d\omega, \quad (9)$$

где  $g(\epsilon)$  — плотность состояний невзаимодействующих электронов (т.е. при  $I = 0$ );  $\xi = Im_L$ ;  $m_L^2 = m_0^2 + \langle m^2 \rangle$ ,  $m_0(T)$  — однородная намагниченность;  $\langle m^2 \rangle = \langle m^2 \rangle_0 + \langle m^2 \rangle_T$  — квадрат амплитуды спиновых флуктуаций, причем  $\langle m^2 \rangle_0$  отвечает слагаемое с множителем  $1/2$  в (9), а  $\langle m^2 \rangle_T$  — с функцией Бозе — Эйнштейна ( $f_B(\omega/T)$ ):

$$D(\xi)^{-1} = 1 - \frac{I}{3} \chi^{\parallel}(\chi) - \frac{2I}{3} \chi^{\perp}(\xi), \quad (10)$$

$$\chi^{\parallel}(\xi) = 2g(\mu + \xi)g(\mu - \xi) / \sum_{\sigma=\pm 1} g(\mu + \sigma\xi),$$

$$\chi^{\perp} = \sum_{\sigma=\pm 1} (\sigma/2\xi) \int g(\epsilon + \sigma\xi)f(\epsilon - \mu) d\epsilon,$$

$$X_{q,\omega} = I\chi_0^0 - I\chi_{q,\omega}^0 =$$

$$= [a\mathbf{q}^2 - (iIb\omega/v_F |\mathbf{q}|) \theta(\omega - v_F|\mathbf{q}|)] \theta(\mathbf{q} - \mathbf{q}_c), \quad (11)$$

$f(\epsilon - \mu)$  — функция Ферми — Дирака;  $\chi_{q,\omega}^0$  — паулиевская неоднородная восприимчивость;  $v_F$  — скорость на поверхности Ферми;  $a$  и  $b$  — параметры, определяемые из нейтронографических экспериментов или прямыми зонными расчетами;  $\mathbf{q}_c$  — вектор обрезания.

Найденные соотношения (8)–(10) не только описывают влияние спиновых флуктуация на плотность электронных состояний, но и в выражениях для их амплитуды содержат перенормированную плотность состояний  $g_{\sigma}(\epsilon, \xi, m_0)$  либо ее часть  $g(\epsilon + \sigma\xi)$ . При этом в парамагнитном случае и при  $h_0 = 0$

$$g(\epsilon, \xi, m_0 = 0) = \frac{1}{2} \sum_{\sigma=\pm 1} g(\epsilon + \sigma\xi).$$

Кроме того, используя выражение (8), находим перенормированные спиновыми флуктуациями уравнения магнитного состояния и электронейтральности

$$m_0 = \sum_{\sigma=\pm 1/2} \sigma \int g_{\sigma}(\epsilon, \xi, m_0) f(\epsilon - \mu) d\epsilon, \quad (12)$$

$$N = \sum_{\sigma=\pm 1/2} \int g_{\sigma}(\epsilon, \xi, m_0) f(\epsilon - \mu) d\epsilon, \quad (13)$$

в которых  $N$  — число  $d$ -электронов.

Дифференцируя намагниченность по внешнему магнитному полю, получаем выражение для парамагнитной однородной восприимчивости

$$\chi = \left. \partial m_0 / \partial h_0 \right|_{h_0=0} = 2(1 - D^{-1}(\xi))I^{-1}D(\xi), \quad (14)$$

согласно которому  $D(\xi)$  является фактором обменного усиления магнитной восприимчивости, а  $\chi^{\parallel}$  и  $\chi^{\perp}$  соответствуют продольной и поперечной паулиевским восприимчивостям, перенормированным спиновыми флуктуациями.

Следует отметить, что выражения (10), (14) отличаются от полученных ранее в работах [1,15] учетом влияния не только поперечных, но и продольных спиновых и зарядовых флуктуаций (связанных с изменением модуля обменного поля на узле). Это совокупное влияние трех типов флуктуаций электронной плотности наряду с изменением числа состояний в подзонах, отвечающих разным направлениям спина, обуславливает появление в формуле (10) слагаемого  $\chi^{\parallel}$  и весового множителя  $2/3$  перед поперечной компонентой неусиленной восприимчивости. При этом, когда  $(\mu + \xi)$  либо  $(\mu - \xi)$  оказываются за пределами  $d$ -зоны либо узкого пика на кривой  $g(\epsilon)$ , в системе  $d$ -электронов возникают температурно-индуцированные локальные магнитные моменты. Так же как в [1,15], индуцированные локальные моменты реализуются при  $T > T^*$ , причем

$$T^* = (Ib)^{-1}[\mu^* - \frac{2}{3} IN^*] / (1 + (a/2)),$$

где  $\mu^*$  — химический потенциал, который отсчитывается от нижнего (при  $N > 5N_0$ ) или верхнего (при  $N < 5N_0$ ) края  $d$ -зоны и определяется из условия электронейтральности (13) при  $T = T^*$ ,  $\xi = \xi(T^*)$ ,  $m_0 = 0$ ;  $2N^*$  — число свободных ( $N > 5N_0$ ) или занятых ( $N < 5N_0$ ) состояний в исходной ( $I = 0$ ) пятикратно вырожденной  $d$ -зоне. При этом выражение для характерной температуры  $T^*$  практически совпадает с приведенными в [15] (с точностью до замены  $I \rightarrow 2I/3$ ). Далее, вычисляя в соответствии с (9) амплитуды нулевых и тепловых спиновых флуктуаций, находим, что с ростом температуры амплитуда нулевых спиновых флуктуаций убывает, тогда как тепловых возрастают. Уменьшение амплитуды нулевых флуктуаций спиновой плотности в рамках аппроксимации (11) описывается соотношением

$$\langle m^2 \rangle_0 = (3/\pi I b) [1 - (aD(\xi))^{-2}] \times \\ \times \{1 + \ln(1 + b\varepsilon_F(D(\xi)^{-1} + a)^{-1})\}, \quad (15)$$

причем при  $D(\xi)^{-1} \geq a$  она обращается в нуль. Амплитуда тепловых спиновых флуктуаций при  $T < T^*$  и  $D(\xi)^{-1} \leq a$  вычисляется по формуле

$$\langle m^2 \rangle_T = (T/T_0)^{4/3}, \quad (16)$$

а в области температур  $T > T^*$  и при  $D(\xi)^{-1} \geq a$  для нее выполняется соотношение

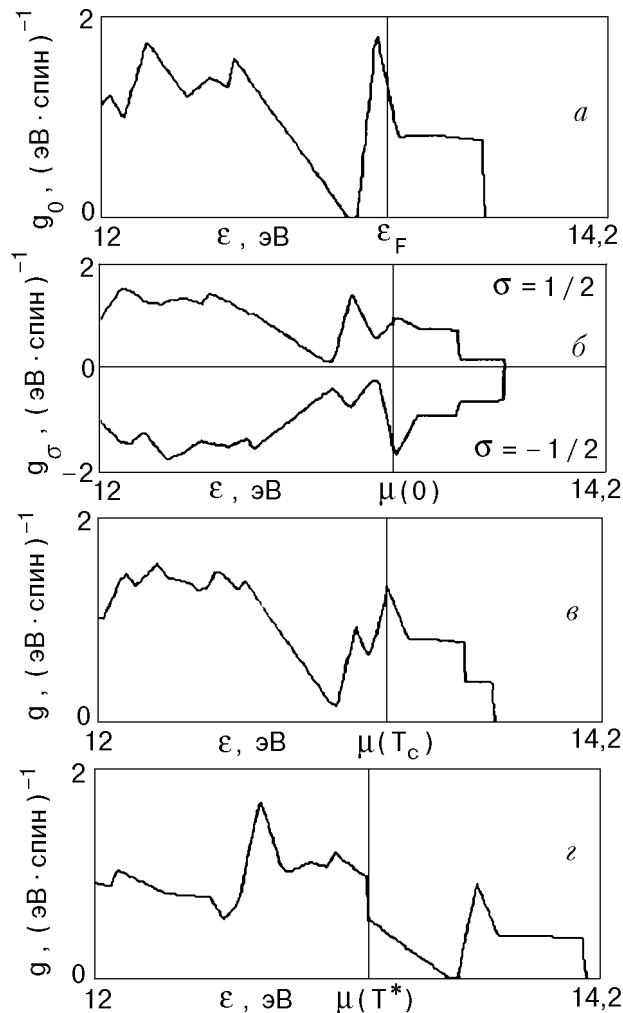


Рис. 1. Плотность электронных состояний в зависимости от энергии и температуры: модельная кривая, построенная по данным [12], для неперенормированной обменными полями плотности электронных состояний  $\text{Fe}_{1-x}\text{Co}_x\text{Si}$  (значение энергии Ферми указано для  $x = 0,3$ ) (а); для  $\text{Fe}_{0,7}\text{Co}_{0,3}\text{Si}$  в подзонах с разными направлениями спина при  $T = 0$  К и ферромагнитном упорядочении (б); для  $\text{Fe}_{0,7}\text{Co}_{0,3}\text{Si}$  в подзонах при  $T = T_c$  (в) и  $T^*$  (г) (вырождение по спину

$$\langle m^2 \rangle_T = (bT)^2 D^{-1}(\xi) [D^{-1}(\xi) + a]^{-1}, \quad (17)$$

где

$$T_0 = a^{5/8} 2^{2/3} [b\Gamma(4/3)\zeta(4/3)]^{-3/4} I^{1/4},$$

$\Gamma(x)$  и  $\zeta(x)$  — гамма- и дзета-функции. Видно, что температура образования температурно-индуцированных локальных магнитных моментов  $T^*$  может приближенно совпадать с температурой исчезновения нулевых спиновых флуктуаций. Последнее находит дополнительное подтверждение в работах [8,10,12,15,16] из анализа свойств слабых зонных магнетиков и сильных парамагнетиков при  $T > T^*$ .

3. Конкретный количественный анализ влияния спиновых флуктуаций на плотность электронных состояний и парамагнитную восприимчивость слабых зонных магнетиков проведем для сплавов, температурно-индуцированные локальные магнитные моменты в которых подробно изучены ранее [10,12,16]. Оценим амплитуды нулевых спиновых флуктуаций с помощью уравнений (11), (12) и экспериментальных данных о намагниченности слабоферромагнитного состояния [3]\* этих сплавов, индуцированного внешним магнитным полем. При этом используем приведенную на рис. 1, а кривую  $g(\varepsilon)$  и величину параметра  $I = 0,76$  эВ (см. [12]). Найденные таким образом величины  $\langle m \rangle_0$  приводятся в таблице. Там же указываются данные эксперимента [3,16] и проведенных ранее расчетов [12,16] других магнитных и спин-флуктуационных параметров рассматриваемых сплавов. При этом оказывается, что расчет величины  $\langle m \rangle_0$  по формуле (15) требует замены соответствующих тепловым спиновым флуктуациям параметров их частотного спектра  $b$  на величины  $b'$ , которые также даны в таблице.

Таблица

Экспериментальные данные [3,12,16,17] и результаты расчетов магнитных характеристик и спин-флуктуационных параметров сплавов  $\text{Fe}_{1-x}\text{Co}_x\text{Si}$

| $x$ | $\frac{m_0}{2\mu_B}$ | $\varepsilon_F$ ,<br>эВ | $T_c$ ,<br>К | $\frac{\langle m \rangle_0}{2\mu_B}$ | $T^*$ , К | $a \cdot 10^2$ | $Ib$ | $Ib'$ |
|-----|----------------------|-------------------------|--------------|--------------------------------------|-----------|----------------|------|-------|
|     |                      |                         |              |                                      |           |                |      |       |

\* Отметим, что критическое поле образования слабоферромагнитного состояния в слабых зонных гелимагнетиках при  $T \rightarrow T_c$  стремится к нулю.

|      |       |        |      |       |     |     |      |       |
|------|-------|--------|------|-------|-----|-----|------|-------|
| 0,10 | 0,050 | 13,220 | 15,0 | 0,000 | 650 | 3,0 | 5,55 | 0,00  |
| 0,30 | 0,075 | 13,294 | 44,0 | 0,106 | 350 | 3,6 | 4,80 | 9,80  |
| 0,40 | 0,100 | 13,324 | 39,0 | 0,439 | 275 | 4,0 | 4,60 | 2,38  |
| 0,50 | 0,085 | 13,356 | 34,0 | 0,536 | 200 | 4,4 | 4,40 | 1,95  |
| 0,60 | 0,050 | 13,391 | 4,8  | 0,049 | 150 | 4,0 | 1,14 | 21,36 |

Для количественного анализа необходимо учесть влияние на магнитные свойства и концентрационных флуктуаций, связанных с замещением  $d$ -атомов атомами кремния или наоборот. Для этого в формулах, содержащих фактор усиления, достаточно произвести замену [18]

$$D^{-1}(\xi) \rightarrow D^{-1}(\xi)[1 + \Delta p^2 D(\xi)],$$

где параметр  $\Delta p^2 = 1/N_0 \sum (p_v - p)^2$ ;  $p_v$  – вероятность заполнения  $v$  данного узла кристаллической решетки атомом  $d$ -металла;  $p$  – среднее значение  $p_v$ .

Оценки величины  $\Delta p^2$  для сплавов  $\text{Fe}_{1-x}\text{Co}_x\text{Si}$  проводятся, как в [18], по экспериментально полученным зависимостям намагниченности от внешнего магнитного поля [3]. При этом оказывается, что для исследованных образцов влиянием концентрационных флуктуаций на магнитные и электронные свойства можно пренебречь, поскольку  $\Delta p^2 \sim 10^{-2}$ .

На рис. 1,б-г приведены зависимости от энергии плотности электронных состояний, рассчитанной по формуле (8) с учетом данных о функции  $g(\epsilon)$  [14], величинах  $\langle m \rangle_0$ ,  $m_0$  и  $\langle m \rangle_T$  для нескольких характерных температур. Видно, что уже вблизи температуры абсолютного нуля перенормировка плотности электронных состояний вследствие намагничивания и нулевых спиновых флуктуаций приводит к перераспределению числа электронных состояний между разделенными энергетической щелью подзонами и к возникновению вблизи энергетической щели пика на зависимости  $g(\epsilon, \xi, m_0)$ . С увеличением температуры до значений близких к  $T_c$  кривая  $g(\epsilon, \xi, m_0)$  изменяется незначительно, а в парамагнитной области температур начинается ее более резкое изменение, особенно заметное при  $T > T^*$  ( $\langle m \rangle_0 = 0$ ). Кроме того, следует иметь в виду, что из-за эффектов спин-флуктуационной перенормировки электронной полосы химический потенциал сплавов  $\text{Fe}_{1-x}\text{Co}_x\text{Si}$  претерпевает дополнительный сдвиг влево по отношению к

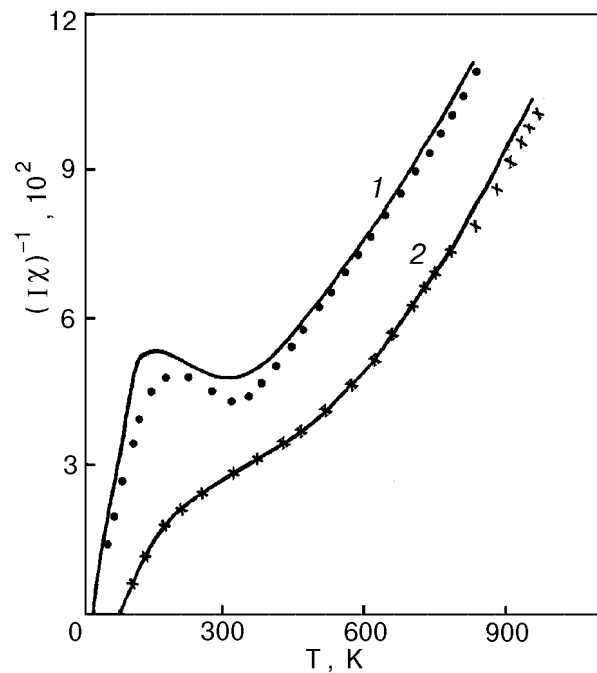


Рис. 2. Температурные зависимости парамагнитной восприимчивости сплавов  $\text{Fe}_{0,9}\text{Co}_{0,1}\text{Si}$  (1) и  $\text{Fe}_{0,7}\text{Co}_{0,3}\text{Si}$  (2). Сплошные линии – результаты теоретического расчета, ● и × – экспериментальные данные [16,17].

$\mu(0)$  ( $\mu(0) = \epsilon_F + 0,033$  эВ при  $x = 0,3$ ;  $\epsilon_F$  – энергия Ферми).

Полученная картина трансформации электронной полосы слабых зонных магнетиков  $\text{Fe}_{1-x}\text{Co}_x\text{Si}$  вследствие влияния тепловых и нулевых спиновых флуктуаций подтверждается также согласием расчетов температурной зависимости парамагнитной восприимчивости с экспериментальными данными (рис. 2). Особенно заметно влияние на формирование зависимости  $\chi(T)$  при  $T < T^*$  эффектов флуктуационной перенормировки значений химического потенциала, а также нулевых спиновых флуктуаций. В области сравнительно высоких температур  $T > T^*$  особенности тонкой структуры плотности электронных состояний становятся незначительными, а величины  $\langle m \rangle_0$  и  $\chi^{\parallel}$  обращаются в нуль. При этом результаты проведенных здесь расчетов  $\chi(T)$  в рамках модельной кривой электронных состояний [12] (рис. 1,а) для  $T > T^*$  согласуются с полученными в [16] на основе более грубого подхода [15] с несколько иной моделью  $g(\epsilon)$  (после замены  $I \rightarrow 2/3$ )\*.

Итак, спиновые флуктуации приводят к существенной перенормировке плотности

\* Использованная в [16] модельная кривая  $g(\epsilon)$  не подтвердилась прямыми зонными расчетами.

электронных состояний и химического потенциала слабых зонных магнетиков, которую следует учитывать не только при описании их магнитных свойств, но и при оценках амплитуды самих спиновых флуктуаций. При этом спин-флуктуационная перенормировка электронной полосы определяет величины амплитуд нулевых спиновых флуктуаций, которые оказываются тем меньше, чем ближе уровень Ферми к левому или правому краю верхней подзоны  $g(\epsilon, 0, 0)$  (см. таблицу), а при  $T > T^*$  они обращаются в нуль и практически одновременно происходит образование температурно-индуцированных локальных магнитных моментов.

Рассмотренные эффекты спин-флуктуационной перенормировки  $g(\epsilon)$  могут, по нашему мнению, представлять особый интерес для анализа низкотемпературных особенностей магнитообъемных, тепловых и термоэлектрических явлений в слабых зонных магнетиках.

Работа частично поддержана грантом конкурсного центра фундаментального естествознания Министерства общего и профессионального образования РФ (проект № 95-0-7.2-165).

1. Т. Морийя, *Спиновые флуктуации в магнетиках с коллективизированными электронами*, Мир, Москва (1988).
2. J. Beille, J. Voiron, and M. Roth, *Solid State Commun.* **47**, 399 (1983).
3. С. В. Кортов, А. А. Повзнер, Л. Ф. Ромашева, П. В. Гельд, *Известия вузов. Физика* **2**, 93 (1990).
4. А. З. Солонцов, *ФММ* **75**, 5 (1993).
5. А. А. Повзнер, *ФНТ* **19**, 1282 (1993).
6. A. Z. Solontsov and D. Wagner, *J. Magn. Magn. Mater.* **140**, 199 (1995).

7. K. R. A. Ziebek, H. Capellman, and P. J. Brown, *Zs. Phys.* **B48**, 241 (1982).
8. П. В. Гельд, А. А. Повзнер, Д. В. Лихачев, *ДАН СССР* **315**, 86 (1990).
9. П. В. Гельд, А. А. Повзнер, А. А. Тимофеев, *ДАН СССР* **299**, 1120 (1988).
10. А. А. Povzner, S. V. Kortov, and P. V. Gel'd, *Phys. Status Solidi A* **114**, 315 (1993).
11. А. С. Панфилов, И. В. Свечкарев, Л. Ф. Ромашева, *ФНТ* **19**, 284 (1993).
12. Л. И. Винокурова, А. В. Власов, Э. Т. Кулатов, *Труды ИОФАН* **32**, 26 (1992).
13. А. А. Абрикосов, Л. П. Горьков, И. Е. Дзялошинский, *Методы квантовой теории поля в статистической физике*, ГИФМЛ, Москва (1962).
14. А. Г. Тябликов, *Методы квантовой теории магнетизма*, Наука, Москва (1975).
15. А. А. Повзнер, А. Г. Волков, *ФММ* **66**, 1073 (1988).
16. П. В. Гельд, А. А. Повзнер, С. В. Кортов, Л. Ф. Ромашева, *Известия вузов. Физика* **4**, 18 (1988).
17. С. В. Кортов, *Теплофизические свойства и слабый зонный магнетизм твердых растворов  $Fe_{1-y}Mn_ySi$  и  $Fe_{1-x}Co_xSi$* , Дис. ... канд. физ.-мат. наук, Свердловск (1987).
18. А. А. Повзнер, А. Г. Волков, *Металлофизика* **13**, 32 (1991).

## Density of electron states and spin fluctuations in weak itinerant magnets

A. A. Povzner, A. G. Volkov, and P. V. Bayankin

The influence of zero-point and thermal spin-fluctuations on electronic structure and magnetic properties of weak itinerant magnets has been discussed. Using the  $Fe_{1-x}Co_xSi$  as an example, the possibility of the valuable complex reconstruction of electron state density in fluctuating exchange field is demonstrated. Found temperature dependence of paramagnetic susceptibility for  $Fe_{1-x}Co_xSi$  is in agreement with experimental data.